## **USBECTUA**

## ТОМСКОГО ОРДЕНА ТРУДОВОГО КРАСНОГО ЗНАМЕНИ ПОЛИТЕХНИЧЕСКОГО ИНСТИТУТА мм. С.М.КИРОВА

图 251

1970

## Радикал ССО, в облученном КССО4.

А.А.Васильев, D.А. Захаров, Л.В.Сериков (Представлена научным семинаром кафедры радиационной химии)

Параметры спектров электронного парамагнитного резонанса радикала (МО<sub>5</sub> в различных твердых матрицах известны из многих работ [I-4] . В связи с этим его идентификация не вызывает затруднений.

Нами изучались спектры ЭПР  $MO_3$ , образующегося в момокристаллах чистого перхлората калия под действием электронов энергией I,6 Мэв при  $T = +20^{\circ}$ C. Источником электронов служил ускоритель ЭСГ-2,5, регистрация спектров ЭПР
проводилась с помощью модернизированного спектрометра ЭПА—
2.

Облучение велось в резонаторе спектрометра. Спектры измерацись, как в процессе облучения, так и после его окончания. Такая методика позволяла уменьшить ощибку в измерении концентраций, возможную за счет протекания послерадианионных реакций.

Использованные мощности дозы лежали в пределах 0,5 ♦ • ТО Мрад/мин.

Спектр, наблюдающийся во время облучения, приведен на рыс. I.

Восьмикомпонентный спектр (лимии I'и I) может быть с уверенностью отнесен к радикалу  $\mathcal{ClO}_3$  на основании данных [1-4].

Радикал 2003 существует в решетке 2002 в двух ориентащих относительно кристаллографических осей. При изменении паправления магнитного поля каждая линия в спектре распепляется на две (рис. 4). Расщепление не наблюдается лишь тогда, когда Н 10 , либо Н 16 (а,в к о - крис-

таллографические оси КССО4 ).

Для  $(M^3 O_3)$  ( линии I ) нами получены значения компонент у — тензора:  $g_N = 2,009$ ;  $g_Z = 2,007$ ; и компонент тензора СТС:  $A_{II} = 105$  гс  $A_Z = 147$  гс. Линии II и II в спекторах на рис. I принадлежат радикалу  $(MO_2)$ , подробно исследованному, в работе  $\{5\}$ . Оставиляся часть спектра, новидимому, не может бить приписана хлорсодержации центорам.

Изменения концентрации ССО3 во время облучения при

различных мощностях дози приведени на рис. 2.

Послерадиа шионные изменения  $M_2$ ,  $M_3$  понаваны на рис. 3. В аналогичных экспериментах при температура —196°С ради-калов  $M_2$  и  $M_3$  обнаружено не было, в отлично от данных работы  $\{7\}$ .

Кривые накопления имеют максимум, величина и положение которого зависят от мощности дозы излучения. Это говорит о сложности процессов обрезования и гибели  $\mathcal{MO}_3$  .

В качестве схемы, согласующейся с полученными результатами, можно предположить следующие реакции образо: ния и гибели :

может уменьшить радиациснно-химический выход ССО3 по реакпин (I)

При постоянных значениях констант скоростей реакций I-5 кривая накопления  $llo_3$  не должна иметь максимума. Его существование связано, по-видимому, с увеличением в процессе облучения концентрации продукта реагирующего с  $llo_3$  или с  $llo_4$ .

Е данном случае этим продуктом могут быть свободные электроны, рекомбинирующие с  $CEO_3$  и  $CEO_4$  по реакциям (3) и (5). Концентрация свободных электронов может увеличиться при ваполнении жовушек электронов, которыми могут служить, как дефекты структуры, существующие в кристалле до облучения, так и дефекты, наведенные излучением.

Пои этом суммарная концентрация незаполненных дорадиа-

Уменьшение числа незаполненных ловушен приводит к возрастанию концентрации свободных электронов и увеличению вероятности реакций (3) и (5).

Процессы образования, заполнения и освобождения ловушек через определенное время приходят в равновесие и устанавливается стационарная концентрация свободных электронов и, следовательно, радикалов  $\mathcal{ClO}_3$ .

Частичное освобождение ловушек после прекращения облучения ( и, следовательно, прекращения генерации свободных электронов ) должно привести при повторении сеанса облучения к появлению еще одного мексимума на кривой зависимости концентрации сеод, от дозы, поглощенной кесод.

Кривые такого вида нами действительно наблюдались.

Прерывистое облучение образцов с интервалами между выключением электронного пучка и последующим включением создает ряд последовательных максимумов концентрации *ССО*,

Наконец, наблюдаемое в (6) влияние на скорость накопления  ${\it PlO}_3$  вводимых в решетку  ${\it KClO}_4$  ионов  ${\it Ag}^{\dagger}$ , являющихся акцепторами электронов также соответствует сделанному предположению о важной роли рекомбинационных реакций  ${\it ClO}_3$  и

ССС, со свободными термализованными электронами.

Предложенная схема реакций описывается следующей системой дифференциальных уравнений:

$$\frac{dc_{1}}{dt} = A - K_{1}C_{1} - K_{3}C_{1}C_{3}$$

$$\frac{dc_{2}}{dt} = K_{1}C_{1} - K_{3}C_{2}C_{3} - K_{2}C_{2}^{2} - K_{4}C_{2} + 2K_{7}C_{5}$$

$$\frac{dc_{3}}{dt} = A - K_{3}C_{2}C_{3} - K_{5}C_{1}C_{3} - K_{6}C_{3}C_{4}$$

$$\frac{dc_{4}}{dt} = B - K_{6}C_{3}C_{4}$$

$$\frac{dc_{5}}{dt} = \frac{1}{2}K_{2}C_{2}^{2} - K_{7}C_{5}$$

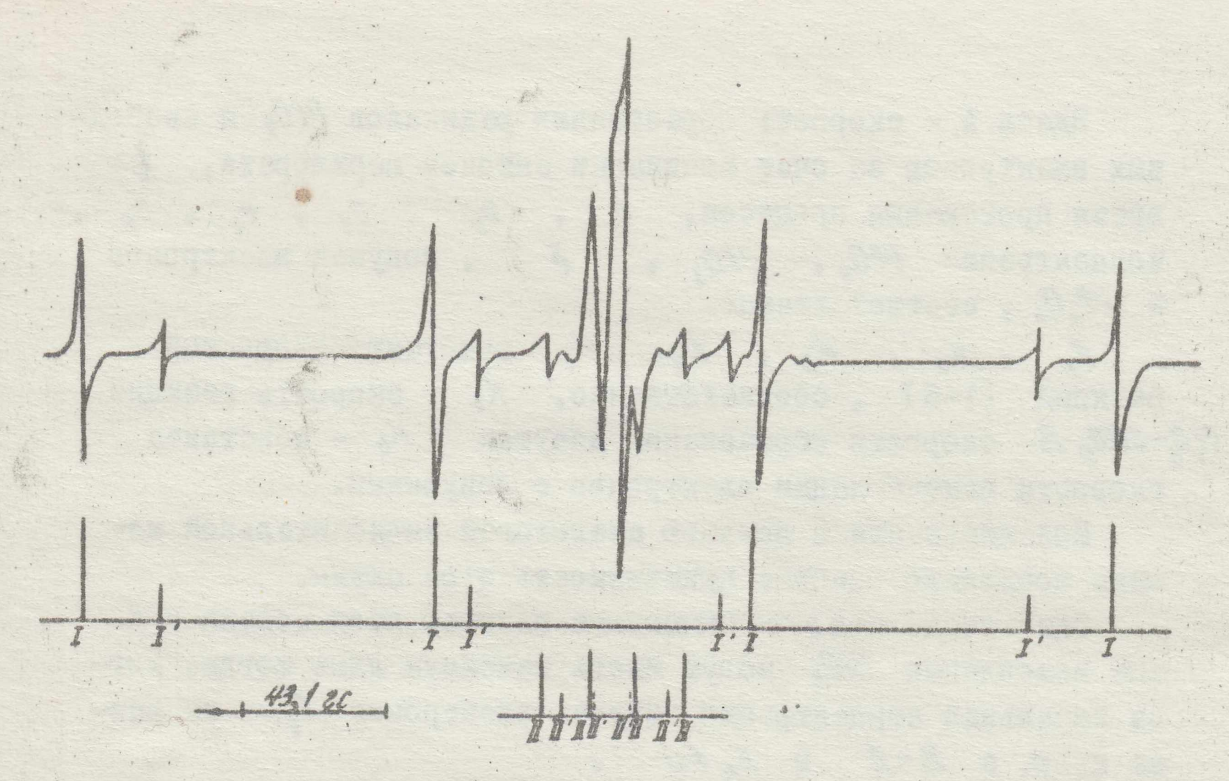


Рис. I. Спектр ЭПР КСІО $_4$ , облученного дозой I Мрад,  $T=+20^{\circ}$ С

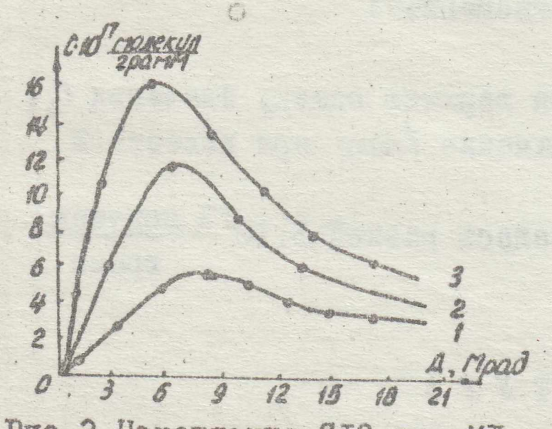


Рис. 2. Накопление СІО<sub>З</sub>при МД І Мрад/мин (І), 5 Мрад/мин (2), 8 Мрад/мин (3).

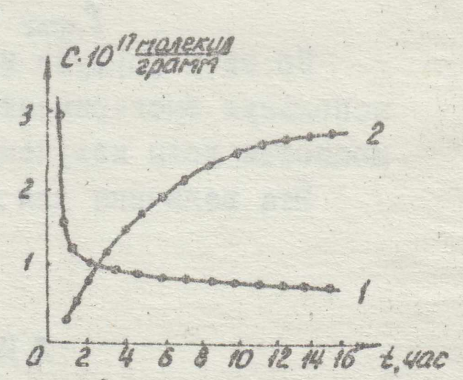


Рис. 3. Изменения [СІО3] (1) и [СІО2] (2) после облучения.

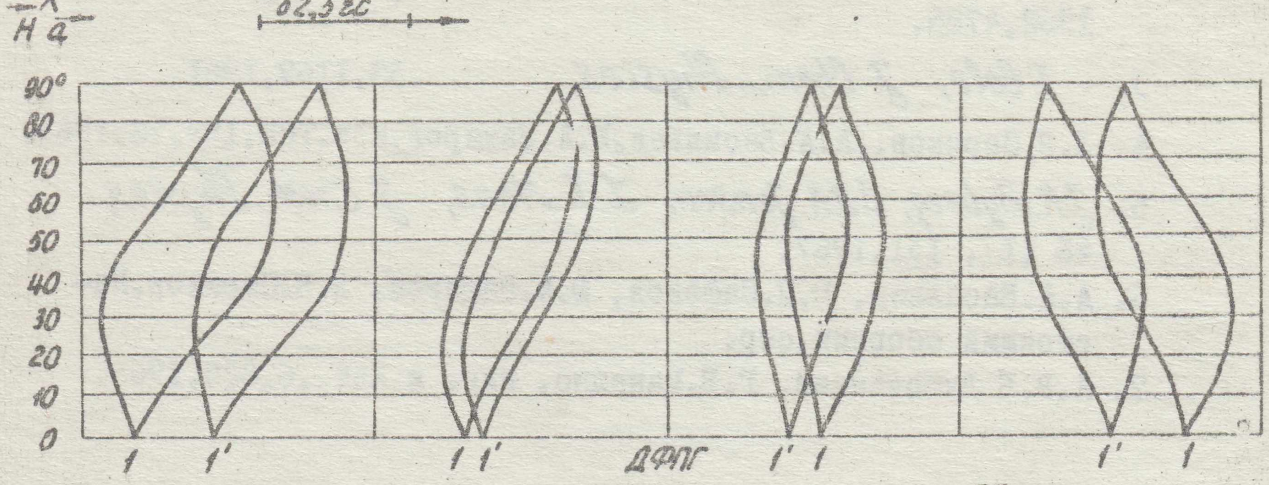


Рис.4.Зависимость положения линий в спектре ЭПР  $CI^{35}O_3(I)$  и  $CI^{37}O_3(2)$  от ориентации кристапла в магнитном поле.

моделирование с помощью аналоговой вичислительной машины позволило оценить применимость этой схемы.

Оказалось, что рассчитанные с помощью этой модели кривые накопления  $CC_3$  могут иметь максимум лишь тогда, когда начальная концентрация ловушек электронов  $C_4$  не равня нулю, а B < A и  $K_6 \neq O$ .

Положение максимума по оси времени в широком интервала вначений К-К можно оценить соотношением:

Тмаке. = 1 в По этой формуле можно найти верхнюю оценку значения С, попользуя экспериментальное значение выше при известной мощности дозы излучения.

Эта величина для КОГО, оказалась равной >5.10 18 докумек грамм

## N H T E P A T Y P A

- I. C. Gellez, T. Cole, Chem. Eng. News., 39,38,1961.
- 2. R.W. Atkins, J.A. Brivati, N. Keen, M.C.R. Symons, J. Chem. Soc., 1962,4785.
- 3. I. Cole, J. Chem. Physics, 35,1169,1961.
- 4. Л.В Сериков, А.А.Васильев, Ю.А.Захаров, Изв. ТПИ, 199, 76, 1969.
- 5. J.R. Bybeeg, S.J.N. Jensen, L. I. Mons, J. Chem. Physics, 46 (I), 131,1967.
- 6. А.А.Васильев, Ю.Н.Сафонов, Ю.А.Захаров, Л.В.Сериков, Настоящий сборник, стр.
- 7. А.В.Б Дубовицкий, Г.Б. Манелис, Кин. и Кат., 6,828,1965.